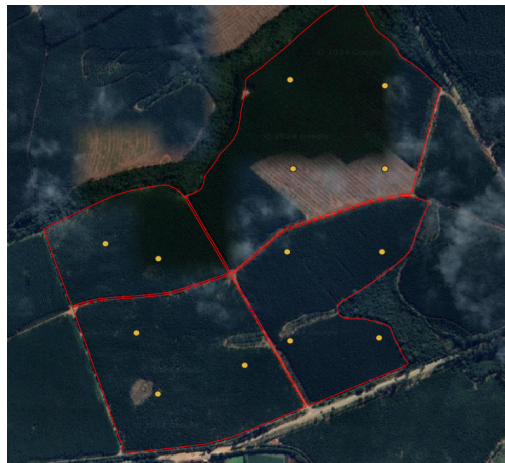


Descrição das etapas de processamento de dados de inventário realizado com o auxílio da tecnologia LiDAR

Otávio Magalhães Silva Souza



Piracicaba, SP – Data de Emissão: 22 de julho de 2024

Contents

1 Pacotes utilizados no R (colocar breve descrição - já tem uma descriçāozinha no R passado em aula)	3
1.1 Tidyverse	3
1.2 Sf	3
1.3 Tidyterra	3
1.4 Terra	3
1.5 Stars	3
1.6 Tools	3
1.7 RColorBrewer	3
1.8 Progress	3
1.9 Reshape2	3
1.10 Mapview	3
1.11 LidR	3
1.12 RCSF	3
1.13 Future	3
2 Descrição da área	4
3 Grid e parcelas já inventariadas	5
4 Fluxograma e etapas Dupla amostragem	6

1 Pacotes utilizados no R (colocar breve descrição - já tem uma descriçāozinha no R passado em aula)

1.1 Tidyverse

1.2 Sf

1.3 Tidyterra

1.4 Terra

1.5 Stars

1.6 Tools

1.7 RColorBrewer

1.8 Progress

1.9 Reshape2

1.10 Mapview

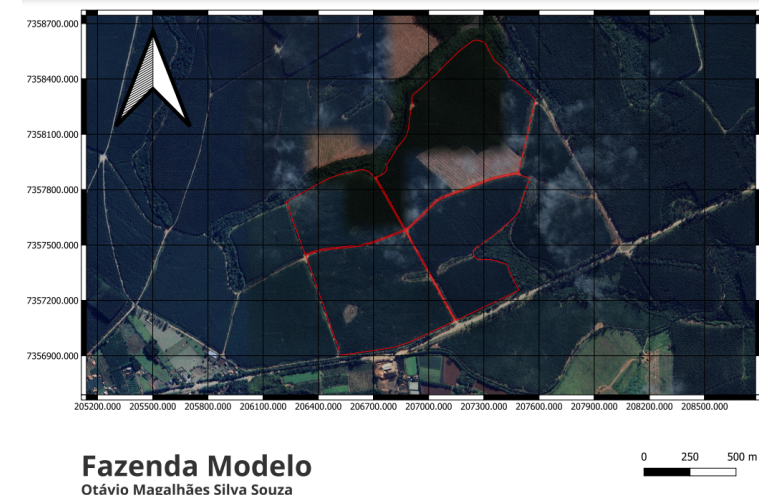
1.11 LidR

1.12 RCSF

1.13 Future

2 Descrição da área

A área a ser estudada como “Fazenda Modelo” localiza-se no município de São Miguel Arcanjo (SP), pode ser identificada pelas coordenadas (-23.86707°, -47.87772°) e possui 129,784 ha, que dividem-se em 4 subtalhões: 301a (18,933 ha), 301d (34,468 ha), 302a (47,602 ha) e 302c (28,781 ha).



Fazenda Modelo
Otávio Magalhães Silva Souza

Figure 1: Mapa da propriedade

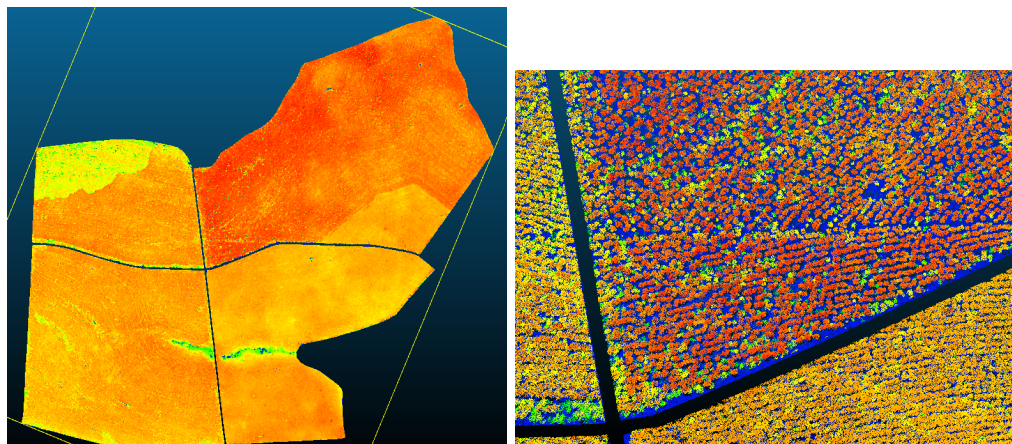


Figure 2: Nuvens LiDAR normalizadas

3 Grid e parcelas já inventariadas

A região foi dividida em 3454 parcelas, onde 2960 delas possuem 400m^2 , enquanto as outras são menores por estarem na borda e abrangerem áreas além da área de interesse. Além disso, 13 das parcelas possuem dados de inventário florestal e podem ser identificadas pelos seguintes Id's: 993, 1526, 1770, 1881, 3165, 3628, 3660, 3730, 5052, 5091, 5106 e 5122.



Figure 3: Parcelas com dados de inventário

4 Fluxograma e etapas Dupla amostragem

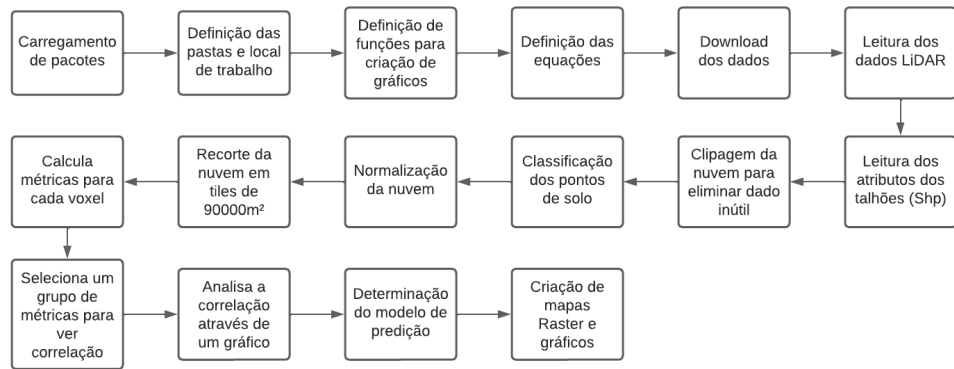


Figure 4: Fluxograma das etapas de processamento de dados LiDAR para fins de inventário florestal

1. Carregamento dos pacotes
 - i. Diversos são os pacotes carregados. Os nomes e a utilidade de cada um estão descritos na primeira seção do documento.

2. Definição das pastas e local de trabalho

- GitHub
 - i. C: - pasta raiz
 - ii. GitRepo - diretório em que estão agrupados os arquivos a serem upados no GitHub
 - iii. PRJ_FAZENDAMODELO - pasta do projeto
 - iv. RMD - código e arquivos utilizados na redação do presente documento
 - v. RESULTADOS - plot da matriz de correlação
 - vi. BATCHR - arquivo tipo R com os scripts utilizados no pré e pós-processamento dos dados
 - vii. SAIDASSIG - arquivos gerados no QGIS
 - viii. SHAPES - arquivos de entrada para uso no SIG
- LiDAR
 - i. C: - pasta raiz
 - ii. LiDAR - agrupa todos as nuvens de pontos utilizadas no script
 - iii. PRJ_FAZENDAMODELO - pasta do projeto
 - iv. NUVENS - onde se localizam as nuvens de pontos
 - v. A13 - reúne as nuvens do ano de 2013
 - vi. TALHOES - nuvem segregada por talhão
 - vii. NoNORM - nuvens com solo classificado
 - viii. SiNORM - nuvens com solo classificado e normalizadas
 - ix. RSTR_qua - raster apresentando a estimativa da variável de interesse para cada talhão

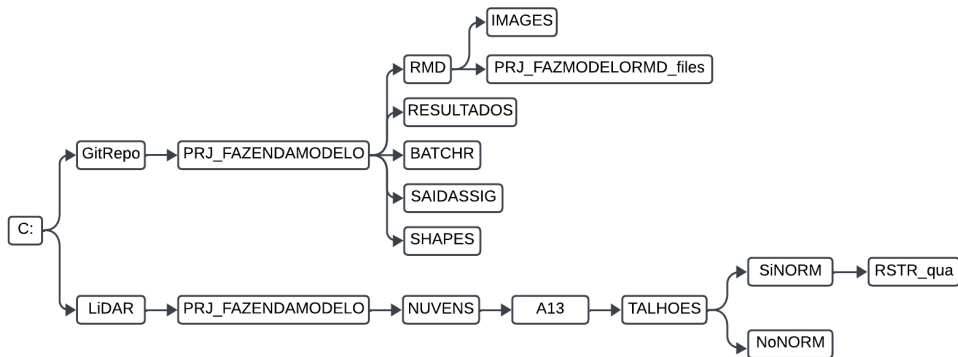


Figure 5: Organização dos diretórios

3

. Definição das funções para criação dos gráficos

4. Definição das equações (estudar quais são)

5. Download dos dados i. Ao todo foram baixadas 6 nuvens de pontos LiDAR, que antes do processamento encontravam-se da seguinte maneira:

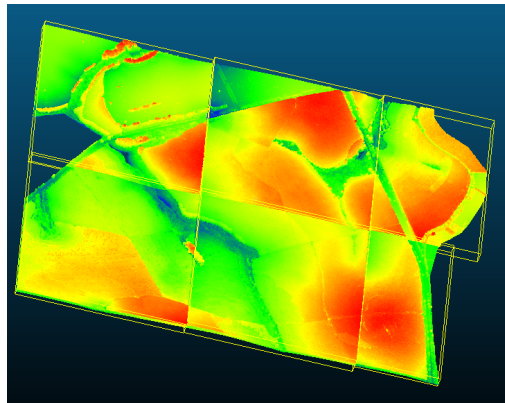


Figure 6: Nuvens de pontos LiDAR pré-processadas

6

. Leitura dos dados LiDAR

7. Leitura dos dados em Shapefile

Fazenda	A
ID_Talhao	301
CODTALHAO	52I214
CHAVE	52I214_6
CHAVE2	P301410062
NUMPARCELA	6
NUMMEDICAO	2
ANOREF	2013
DATAREALIZ	4/18/2013
IDINV	3,70000
AREAPARCEL	399,73000
LAT_UTM23S	206632,09800
LONG_UTM23	7357127,11200
MHDOM	19,37000
VTCC	199,85000
VCCC	196,85000
SUBTALHAO	301d

Figure 7: Dados contidos nas parcelas inventariadas

. Clipagem da nuvem para eliminação de dados indesejados (mostrar nuvem antes e depois)

Antes da clipagem: 68mi pontos

Após clipagem: 18mi pontos

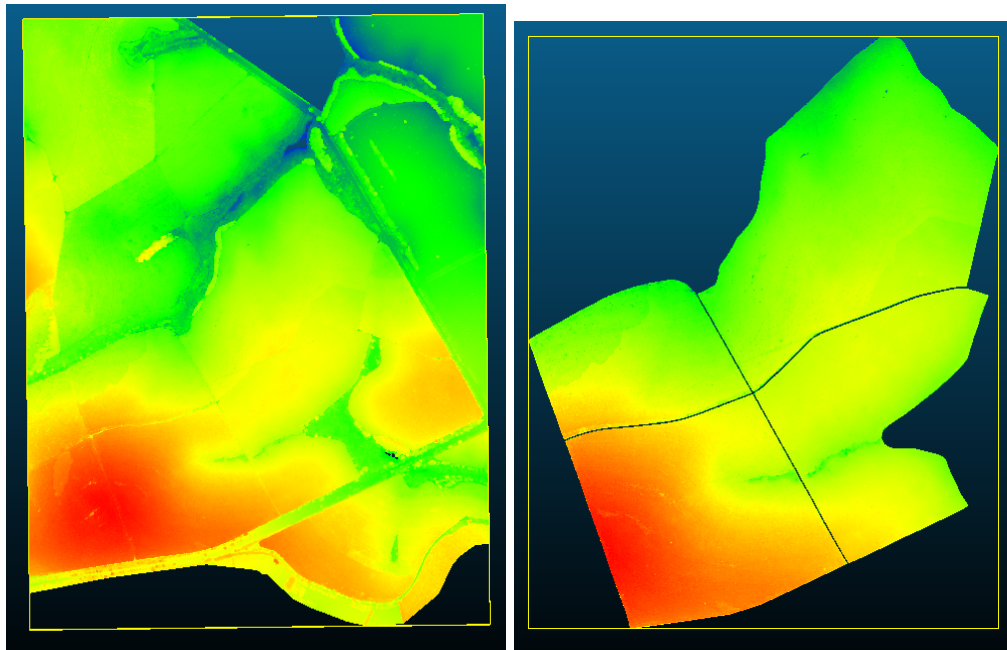


Figure 8: Comparativo entre as nuvens de pontos antes e após a clipagem

. Classificação

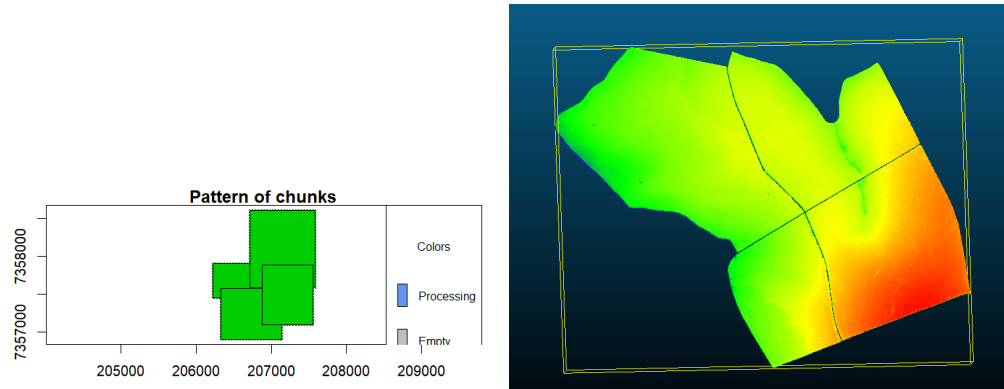


Figure 9: Processamento e resultado da classificação de solo das nuvens LiDAR

10

. Normalização

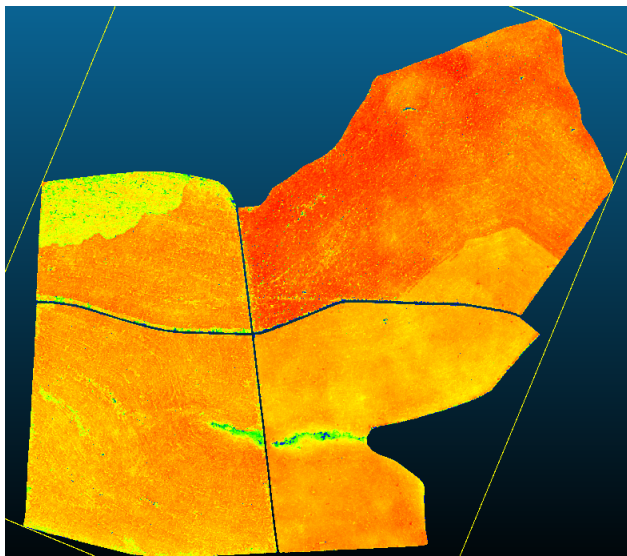


Figure 10: Resultado da normalização das nuvens

. Recorte da nuvem em tiles 300x300m (colocar a janela do plot do R)

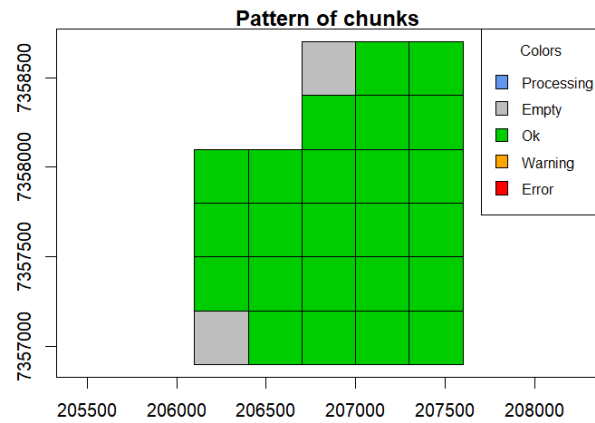


Figure 11: Retile da nuvem em quadrados de 300x300m

. Cálculo de métricas para cada voxel (explicar voxel)

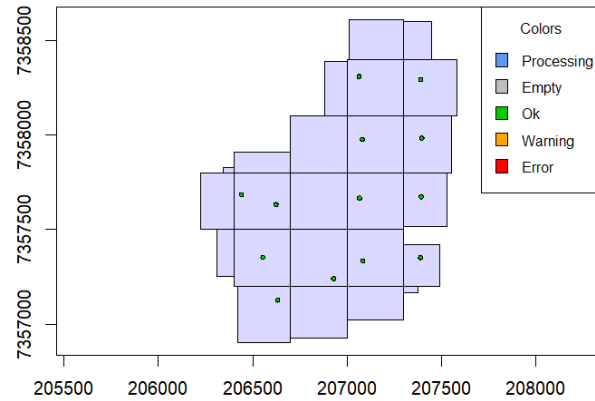


Figure 12: Cálculo das métricas para cada voxel

. Seleção de um grupo de métricas para estudo de correlação

	VTCC	MHDOM	IDINV	Zmean	zq45	zq75	zq95	zpcum2	zpcum4	zpcum6	pzabovezmean	pzabove2
	<db>	<db>	<db>	<db>	<db>	<db>	<db>	<db>	<db>	<db>	<db>	<db>
1	247.	22.2	5.2	12.6	13.1	23.1	24.2	1.08	1.08	1.55	55.1	55.2
2	204.	19.9	5.2	11.8	2.98	21.9	22.7	8.81	8.94	9.65	54.0	56.3
3	285.	27.4	5.2	13.2	19.8	22.1	23.7	1.14	1.34	1.59	61.0	61.3
4	249.	24.5	5.2	14.1	20.4	22.7	24.2	1.21	3.21	3.94	63.8	64.7
5	335.	32.7	5.2	12.5	0	26.0	27.2	7.19	8.62	16.8	49.3	51.5
6	307.	28.1	5.2	12.3	0.37	24.8	25.9	9.33	9.50	10.3	49.9	51.0
7	200.	19.4	3.7	13.2	19.8	22.1	23.7	1.14	1.34	1.59	61.0	61.3
8	219.	19.9	3.7	14.1	20.4	22.7	24.2	1.21	3.21	3.94	67.8	64.7
9	155.	14.8	3.7	10.7	15.3	18.8	20.8	2.47	3.20	3.52	57.9	59.3
10	254.	23.4	3.7	14.7	21.4	23.6	25.5	4.86	5.56	5.56	63.1	65.3
11	247.	22.1	3.7	13.7	20.3	23.0	24.5	10.6	11.0	11.2	60.1	63.8
12	238.	23.9	5.2	14.0	21.2	22.9	24.2	2.04	2.19	2.55	62.0	62.8
13	276.	25.8	5.2	15.9	23.2	24.4	25.2	2.55	2.55	2.55	65.9	66.4

Figure 13: Tabela com as métricas escolhidas

. Análise da correlação por meio de gráfico (falar do gráfico)

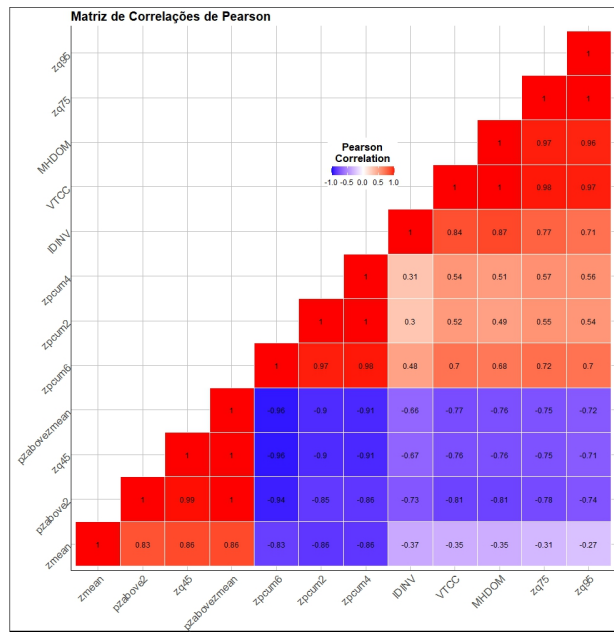


Figure 14: Resultado da análise de correlação

. Determinação do modelo de predição

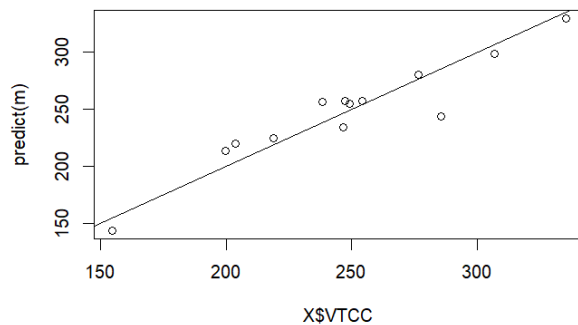


Figure 15: nao sei

16

. Criação de mapas raster e gráficos

Fluxograma e etapas Tripla amostragem